

بررسی کارایی جاذب نانوفیبرلیگنوسلولزی در حذف سرب از محلول‌های آبی

چکیده

در حال حاضر آلودگی آب به فلزات سنگین مانند سرب به دلیل عدم تجزیه‌پذیری، خاصیت تجمع پذیری و ایجاد بیماری‌ها و اختلالات مختلف جسمی منجر به نگرانی‌های عده شده است. اخیراً توجه زیادی به حذف یون‌های فلزی با استفاده از جاذب‌های زیستی به دلیل ارزان بودن، توانایی ذاتی برای واکنش با فلزات و فراوانی به علت طبیعی بودن شده است. هدف از انجام این مطالعه ارزیابی کارایی جاذب نانوفیبرلیگنوسلولز (نانوفیبرسلولز حاوی لیگنین و همی‌سلولز) در حذف فلز سنگین سرب است. فرآیند جذب به صورت ناپیوسته و در شرایط آزمایشگاهی با تأکید بر اثرات پارامترهای مختلفی مانند pH، غلظت سرب و مقدار جاذب بر راندمان جذب موردنظری قرار گرفت. به منظور تفہیم بهتر فرآیندهای جذب، ایزوترم‌های تعادلی تعیین شد. برای بررسی دمای جذب واکنش (دمای محلول) پارامترهای ترمودینامیکی نظری ارئی آزاد گیبس (ΔG°)، آنتالپی (ΔH°) و آنتروپی (ΔS°) محاسبه شد. نتایج حاصل از این پژوهش نشان داد، تحت شرایط بهینه حداقل حذف مؤثر در pH برابر ۶، غلظت اولیه ۱۰ میلی‌گرم بر لیتر سرب، مقدار جاذب $0.3/0.0$ گرم بر لیتر نانوفیبرلیگنوسلولز و دمای ۲۵ درجه سانتی‌گراد، برابر 99.8 میلی‌گرم بر گرم بوده است. نتایج بررسی داده‌ها نشان داد هر دو مدل لانگمویر و فرندیلچ به خوبی می‌توانند جذب عنصر سرب را توجیه کنند، اما مدل لانگمویر در مقابل فرندیلچ برازش بهتری با داده‌های جذب سرب دارد؛ بنابراین می‌توان بیان کرد که جاذب نانوفیبرلیگنوسلولز به طور فراوانی در حذف فلز سرب از محلول‌های آبی مؤثر است. نتایج حاصل از ترمودینامیک جاذب بیانگر خود به خودی، گرمایزا بودن و افزایش میزان بی‌نظمی واکنش بوده است. بررسی تصاویر TEM بیانگر فیبری و شبکه‌ای بودن جاذب نانوفیبرلیگنوسلولز بوده است.

واژگان کلیدی: جذب زیستی، نانوفیبرلیگنوسلولز، سرب، محلول‌های آبی.

عدم قابلیت تجزیه زیستی، سمیت بسیار بالا، قابلیت تحرک زیاد، تجمع در بافت‌های موجودات زنده، مشکلات بسیار جدی را برای انسان‌ها و سایر موجودات در محیط‌زیست سبب شده است [۱ و ۲]. این فلزات از طریق فعالیت‌های صنعتی مانند آب‌کاری، ذوب و تصفیه فلزات، معادن، نیروگاه‌ها و نظیر آن‌ها وارد محیط‌زیست می‌شوند.

مقدمه

امروزه آلودگی محیط‌زیست به انواع ترکیبات شیمیایی آلی و معدنی، به علت توسعه سریع صنایع شیمیایی و ورود انواع ترکیبات سمی به محیط‌زیست، به تهدیدی جدی تبدیل شده است. به طوری که فلزات سنگین به علت

سلولز که از اعضای خانواده پلی ساکاریدها است، فراوان-ترین پلیمر زیستی و ماده تجدیدشونده طبیعی است که میلیون‌ها سال در طبیعت تولیدشده و دارای دسته‌های رشته مانندی به نام ریز لیفچه (نانوفیرلیل) است که قطر آن‌ها ۳۰ تا ۳۰۰ نانومتر است. لذا این ریز لیفچه‌ها جزء نانو فیبرها دسته‌بندی می‌شوند. درواقع نانو الیاف سلوزلز، یکی از نازک‌ترین و ظرفی‌ترین فیبرها در طبیعت است که دارای ویژگی‌های جالبی، همچون تجدیدپذیری، مقاومت مکانیکی زیاد، سطح ویژه زیاد و مواد اولیه ارزان و فراوان می‌باشند [۸]. نانوفیرلیگنوسلوزلز متشکل از نانوفیرسلولزی است که حاوی لیگنین و همی‌سلولزها است و ماده اولیه آن، نیز خمیر رنگبری نشده مواد لیگنوسلوزلزی، مانند چوب است. در سال‌های اخیر محققین مختلف مواد مختلف را با اهداف جاذب برای حذف سرب از محلول‌های آبی مورد مطالعه قرار داده‌اند که از مهم‌ترین آن‌ها می‌توان به بررسی حذف سرب از محلول‌های آبی با استفاده نانوسلوزلز اصلاح شده با کرین توسط Rajawat و همکاران (۲۰۱۳) اشاره نمود [۹ و ۱۰]. همچنین برخی محققین مواد ترکیبی را برای حذف سرب از محلول‌های آبی مورد مطالعه قرار دادند که نتایج آنان حاکی از موفق بودن این مواد برای جذب سرب بوده است. از جمله مهم‌ترین این تحقیقات می‌توان به کامپوزیت نانوفیرسلولز و الكل برای حذف کروم و سرب [۱۱]، نانوسلوزلز برای حذف کادمیوم، نیکل و سرب [۱۲] و لیگنوسلوزلز برای حذف مس [۱۳] اشاره نمود. هدف از مطالعه حاضر، بررسی کارایی جاذب نانولیگنوسلوزلز (نانوفیرسلولز حاوی لیگنین و همی‌سلولزها) در حذف فلز سنجنیگ سرب است. در این مطالعه از نانو فیبر لیگنوسلوزلزی، برای حذف یون سرب از محلول‌های آبی استفاده شد. همچنین تأثیر فاکتورهای مختلف و مؤثر در فرآیند جذب موردمطالعه و بررسی قرار گرفت و معادلات مربوط به ایزووترم‌های جذب سطحی با نتایج به دست آمده از آزمایش مقایسه گردید. به علاوه، اثرات مقدار جاذب، غلظت اولیه فلزات سنجنیگ سرب و pH در میزان جذب بررسی شد و همچنین با استفاده از مدل‌های ایزووترم

سرب، از متداول‌ترین فلزات آلوده‌کننده است که حتی در غلظت‌های کم (کمتر از ۱۵ میکروگرم در لیتر) برای موجودات زنده و انسان سمی است [۳]. این فلز سنجنیگ، دارای سمیت شدیدی است و به علت ایجاد صدمات مغزی و آسیب به سیستم عصبی، کلیه و دستگاه گوارش به-خصوص در کودکان، جزء خطرناک‌ترین فلزات محسوب می‌گردد. به همین دلیل، ورود فلزات سنجنیگ به محیط-زیست، یک تهدید جدی برای سلامت انسان و اکوسیستم تلقی می‌گردد؛ بنابراین توسعه روش‌هایی که بتواند فلزات سنجنیگ را از محیط‌زیست حذف کند، بسیار مهم است [۳]. روش‌های مختلفی برای حذف فلزات سنجنیگ از آب توصیه شده است که از میان آن‌ها می‌توان به روش‌هایی نظری فیلتراسیون، اسمز معکوس، اکسیداسیون شیمیایی یا احیا و نظری این‌ها اشاره کرد که این روش‌ها بسیار گران و پرهزینه هستند [۴]. بیشتر روش‌های مذکور، نه تنها گستره محدودی دارند، بلکه نیاز به سرمایه‌گذاری اولیه، هزینه‌های عملیاتی و بهره‌برداری بالا داشته و حتی باعث تولید پساب ثانویه می‌شود. لذا در سال‌های اخیر، جذب سطحی به عنوان یکی از بهترین روش‌های موجود مطرح است. این روش در مقابل انواع متداول از مزایایی همچون مقرن‌به‌صرفه بودن، قابلیت جذب انتخابی، قابلیت احیا و بازیابی فلزات، زیادبودن نسبی سرعت فرآیند و عدم تولید لجن برخوردار است. به خصوص در رابطه با جاذب‌های طبیعی که ارزان‌قیمت بوده و به راحتی در دسترس می-باشند. برخی از انواع آن‌ها در طبیعت به‌وفور یافت و در می‌شوند [۵]. امروزه نانوفناوری نقش بسیار مهمی در پیشرفت‌های علمی و فناوری کشورهای مختلف جهان دارد. اساس این فناوری بر پایه ساخت و طراحی مواد و سیستم‌هایی با ساختارهای نانو است. از ویژگی‌های اصلی نانو مواد، ابعاد بسیار کوچک و دارابودن نسبت زیاد سطح به حجم است که قابلیت بهتری را برای جذب یون‌های فلزی از محلول‌های آبی فراهم می‌نماید [۶]. اخیراً تولید نانو پلیمرهای زیستی به علت عدم سمیت در محیط، در دسترس بودن و هزینه‌پایین مواد اولیه آن‌ها و زیست‌تخرب‌پذیر بودن به عنوان ابزاری برای جذب عناصر سنجنیگ موردن توجه اکثر محققان قرار گرفته است [۷].

گرم بر لیتر) تهیه شد. برای آماده‌سازی این محلول باید مقدار ۱۰۰۰ میلی گرم سرب در ۱ لیتر آب مقطر دوبار یونیزه حل شود. با داشتن جرم مولکولی سرب نیترات ۲۰۷/۰۲ (۳۳۱/۰۲ گرم بر مول)، جرم مولکولی سرب (۹۹٪) میزان گرم نمک سرب موردنیاز برای ساخت این محلول محاسبه و حدود ۱/۵۹۸ گرم) به دست آمد. پس از وزن کردن این مقدار نمک نیترات با رقیق‌سازی آن با استفاده از آب مقطر دوبار یونیزه، در بالن حجمی ۱ لیتری تهیه گردید. برای بررسی اثرات pH، غلظت جاذب (۰/۱، ۰/۳، ۰/۶، ۰/۸ و ۱ گرم بر لیتر)، غلظت اولیه فلز سنگین (۰، ۱۰، ۲۰، ۳۰، ۴۰ و ۵۰ میلی گرم بر لیتر)، ۱۰۰ میلی لیتر محلول از فلز سرب، در یک اrlen ۲۵۰ میلی لیتری آماده شده و مقدار مشخصی از جاذب به هر اrlen اضافه شد و روی شیکر قرار گرفت. بعد از عمل اختلاط از دستگاه سانتریفیوژ، برای جداسازی جاذب از محلول استفاده شد. برای تعیین مقدار فلز جذب شده از دستگاه جذب اتمی، استفاده شده است. تمام آزمایش‌های جذب، در سیستم ناپیوسته انجام شد. میزان فلز جذب شده در حالت تعادل از معادله زیر محاسبه می‌شود.

$$\text{رابطه ۱} \quad q = \frac{(C_0 - C_e)v}{M}$$

$$\text{رابطه ۲} \quad \% \text{ Removal} = \frac{(C_0 - C_e)}{C_0} \times 100$$

q بیانگر مقدار یون‌های فلزی جذب شده به ازای واحد جرم جاذب بر حسب میلی گرم بر گرم، C_0 غلظت اولیه فلز قبل از جذب بر حسب میلی گرم بر لیتر، C_e غلظت فلز باقیمانده در محلول در حالت تعادل بعد از جذب بر حسب میلی گرم بر گرم، V حجم محلول بر حسب لیتر، M جرم جاذب بر حسب گرم است. لازم به ذکر است که تمامی آزمایش‌ها سه بار تکرار گردید و میانگین داده‌ها و نتایج مورد استفاده قرار گرفت [۱۴].

ایزو ترم‌های جذب سطحی

مقدار ماده جذب‌شونده‌ای که یک جاذب می‌تواند آن را جذب نماید، تابعی از مشخصه‌ها مانند غلظت ماده جذب‌شونده و دما است. عموماً مقدار ماده جذب شده را، به صورت تابعی از غلظت تعادلی ماده جذب‌شونده در دمای ثابت به دست می‌آورند و تابع نتیجه را ایزو ترم جذب

جذب لانگمویر و فرونديلچ و برای بررسی دمای جذب واکنش پارامترهای ترمودینامیکی نظری انرژی آزاد گیبس (ΔG)، آنتالپی (ΔH°) و آنتروپی (ΔS°) محاسبه شد.

مواد و روش‌ها

تهیه جاذب و مواد شیمیایی

جادب نانولیگنوسلولز از شرکت دانش‌بنیان نانونوین پلیمر خردباری شد. نیترات سرب $\text{Pb}(\text{NO}_3)_2 \cdot 6\text{H}_2\text{O}$ هیدروکلریک اسید و هیدروکسید سدیم (جهت تنظیم pH)، همگی از شرکت مرک آلمان تهیه شدند و آب مقطر (دو بار تقطیر جهت انجام آزمایش‌های ناپیوسته و رقیق سازی) خردباری گردید. برای تنظیم pH از هیدروکسید سدیم ۰/۱ مولار و هیدروکلریک اسید ۰/۱ مولار استفاده شد. محلول مادر ۱۰۰۰ میلی گرم بر لیتر، از نمک سرب نیترات در آب مقطر دو بار یونیزه تهیه شد و سایر محلول‌های فلزی موردنیاز برای آزمایش‌های بعدی از این محلول تهیه گردید.

تجهیزات آنالیز

دستگاه‌های موردادستفاده جهت انجام آزمایش‌ها عبارت‌اند از دستگاه جذب اتمی شعله (ASS) مدل ۹۱۹ (Unicam-) برای به دست آوردن میزان غلظت تعادلی پایانی (غلظت فلز سنگین جذب شده)، pH متر مدل (AZ 86552) برای سنجش میزان H، دستگاه انکوباتور شیکر مدل (IKA KS 4000 ic) ساخت آلمان با توجه به پارامترهای مورد آزمایش برای مخلوط شدن جاذب و جذب‌شونده استفاده شد و سانتریفیوژ مدل HERMLE Z300 (BR) برای جداسازی ذرات معلق از محلول ساخت کشور آمریکا، ترازوی دیجیتالی مدل (BS-3003) برای وزن کردن جاذب و فلز سرب با دقت بالا موردادستفاده قرار گرفت. همچنین به منظور تعیین توزیع اندازه نانولیگنوسلولز و تعیین ویژگی‌های آن از دستگاه TEM استفاده شد.

آماده‌سازی محلول استاندارد سرب

از نمک سرب $\text{Pb}(\text{NO}_3)_2 \cdot 6\text{H}_2\text{O}$ ، با آب مقطر دو بار یونیزه، محلول استاندارد (مادری) فلز سرب (۱۰۰۰ میلی-

$$\text{ثابت تعادل جذب بر حسب لیتر بر میلی‌گرم (در دمای معین) مربوط به انرژی جذب} [۴] .$$

$$q = k_f C^{1/n}$$

رابطه ۶

C_e : غلظت تعادلی یون‌های جذب‌شونده بر حسب میلی‌گرم در لیتر
 K_f : ثابت ایزوترم فروندلیج که نشان‌دهنده قدرت جذب است (میلی‌گرم بر گرم)

q : جرم فلز جذب‌شده بر روی جاذب (میلی‌گرم بر گرم)
 n : ثابت تعادل فروندلیج که نشان‌دهنده انرژی پیوندهای بین فلز و جاذب است [۱ و ۴].

فرم خطی معادله فروندلیج به صورت زیر است:

$$\log q_e = \log k_f + \frac{1}{n} \log C_e$$

رابطه ۷

مقادیر n و k_f به ترتیب از شیب و عرض از مبدأ نمودار $\log q_e$ با تابع $\log C_e$ به دست می‌آید.

روش بررسی ترمودینامیک جذب

به منظور بررسی ترمودینامیک حذف، محلول سرب با غلظت اولیه ۱۰ میلی‌گرم بر لیتر ساخته شد. در این مرحله pH محلول‌ها بر روی pH بهینه تنظیم شد. به هر کدام از محلول‌های سرب، ۳/۰ گرم بر لیتر نانوفیرلیگنوسولولز اضافه گردید و سپس در دمای‌های ۱۵، ۲۰، ۲۵ و ۳۰ درجه سانتی‌گراد در داخل شیکر انکوباتور به مدت ۶۰ دقیقه به هم زده شد و در پایان ارلن‌های مورداستفاده از داخل شیکر انکوباتور خارج و با استفاده از سانتریفیوژ (با دور ۴۰۰۰ دور در دقیقه و زمان ۵ دقیقه دو فاز شد و محلول‌ها جهت اندازه‌گیری مورد آماده‌سازی قرار گرفتند. مطابق گزارش‌های منتشرشده در زمان ۶۰ دقیقه با غلظت‌های ورودی مشخص تقریباً بازدهی حذف به تعادل رسیده و با سرعت کمتری افزایش پیدا کرده است؛ بنابراین این زمان به عنوان زمان بهینه در نظر گرفته شد [۱۳ و ۱۶]. داده‌های بخش ترمودینامیک از داده‌های حاصل از این بخش حاصل گردید. سپس تطابق داده‌های آزمایشگاهی با مدل ترمودینامیک بررسی شده و نمودارهای مربوط به آن رسم گردید. به منظور تعیین پارامترهای ترمودینامیکی، مقادیر $1/T$ در مقابل $\ln k_C$ رسم شد. شیب حاصل، بیانگر مقدار ΔH° بر حسب کیلوژول بر مول و عرض از مبدأ، بیانگر پارامتر ΔS°

سطحی می‌نامند [۱۵]. ایزوترم جذب یکی از فاکتورهای مهم، در طراحی سیستم‌های جذب است. درواقع ایزوترم جذب چگونگی فعل و افعال بین جاذب و جسم جذب‌شونده را تشریح می‌کند. لذا همواره به عنوان یک فاکتور اساسی جهت تعیین ظرفیت یک جاذب و بهینه نمودن مصرف جاذب مدنظر است. چندین مدل ایزوترم در دسترس است که متدالو ترین آن‌ها مدل جذب تک لایه ای است که توسط لانگمویر در سال ۱۹۱۸ پیشنهاد گردید. از سایر مدل‌ها می‌توان به مدل جذب چندلایه‌ای اشاره کرد که در سال ۱۹۰۶ توسط فروندلیج بیان گردید. در ایزوترم لانگمویر فرض بر این است که جذب در سایت‌های همگن بر روی جاذب اتفاق می‌افتد و درواقع به طور موقتیت‌آمیزی برای توصیف جذب تک لایه‌ای به کار می‌رود، در مقابل ایزوترم فرنندلیج، برای تشریح سیستم‌های ناهمگون کاربرد دارد [۸]. امروزه برای توصیف رفتار جاذب، معادلات و ایزوترم‌های مختلفی توسعه پیدا کرده است. در این مطالعه ایزوترم‌های لانگمویر، فرنندلیج موردنرسی و مطالعه قرار گرفت و نتایج تجربی با معادلات مذکور مقایسه گردید.

مدل لانگمویر

$$\frac{C_e}{q} = \frac{1}{q_{eb}} + \frac{C_e}{q_e}$$

رابطه ۳

$$q_e = \frac{q_{max} \times C_e b}{1 + C_e b}$$

رابطه ۴

بعد از مرتب شدن داریم:

$$\frac{C_e}{q_e} = \frac{1}{q_{max} b} + \frac{C_e}{q_{max}}$$

رابطه ۵

که مقدار q_{max} (حداکثر ظرفیت جذب در شرایط تعادل) و b (ثابت تعادل جذب) به ترتیب از شیب و عرض از مبدأ نمودار C_e/q_e به صورت تابعی از C_e به دست می‌آید.

C_e : غلظت تعادلی میلی‌گرم بر لیتر
 q_e : مقدار جذب فلز میلی‌گرم بر گرم
 q_{max} : ظرفیت جذب بیشینه بر حسب میلی‌گرم بر گرم

$$Lnk_c = -\frac{\Delta H^\circ}{R \cdot T} + \frac{\Delta S^\circ}{R}$$

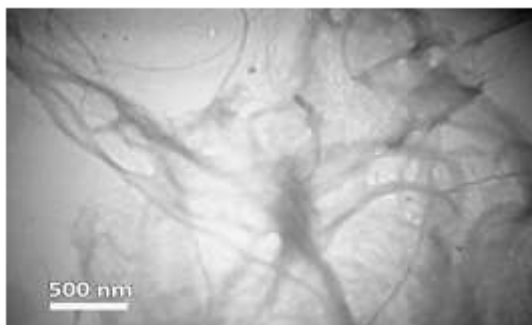
رابطه ۱۰

ΔG° بیانگر تغییرات انرژی آزاد استاندارد و بر حسب $J \cdot mol^{-1} k^{-1}$ است. ΔH° و ΔS° به ترتیب بیانگر آنتالپی و آنتروپی بر حسب $R \cdot KJ \cdot mol^{-1}$ دمای مطلق بر حسب کلوین، K بیانگر ثابت تعادل و بدون مقایس است [۱۸].

نتایج و بحث

تصاویر میکروسکوپ الکترونی عبوری (TEM)

شکل ۱ تصویر میکروسکوپ الکترونی عبوری به دست آمده از نانوفیبر لیگنوسلولز را نشان می دهد. با توجه به شکل، این جاذب دارای قطر کمتر از 100 نانومتر (محدوده نانومتری) و دارای ساختار فیبری و شبکه ای است. متوسط قطر آن 65 ± 10 نانومتر اندازه گیری شد.



شکل ۱- تصویر میکروسکوپ الکترونی عبوری از نانوفیبر لیگنوسلولز

مقادیر pH پایین تر، بین یون های مثبت H و یون فلزی برای اتصال به سطح جاذب رقابت به وجود می آید. درنتیجه میزان جذب فلز در pH های پایین، کم است. افزایش pH، باعث افزایش بارهای منفی و یونیزاسیون pH های اتصال در گروههای پایه می شود. افزایش pH ثانویه بیش از 6 باعث رسوب یون های فلزی به صورت هیدروکسید شده، بنابراین میزان یون ها در محلول کاهش یافته و میزان جذب کم می شود [۲۰].

بر حسب کیلوژول بر مول است. بعد از رسم منحنی و با محاسبه ΔH° و ΔS° خود به خودی بودن و گرمایش گرماگیر بودن فرایند جذب مشخص شد. سه پارامتر ترمودینامیکی که در مطالعه فرآیند جذب بایستی بررسی و تعیین مقدار گردند، عبارتند از: انرژی آزاد استاندارد (ΔG°)، آنتالپی استاندارد (ΔH°) و آنتروپی استاندارد (ΔS°). ترمودینامیک جذب سطحی سرب توسط نانوفیبر لیگنوسلولز و پارامترهای مرتبط با هر کدام به شرح زیر است [۱۷]. مقادیر ترمودینامیکی با استفاده از روابط 8 ، 9 و 10 به دست آمد که به شرح زیر است:

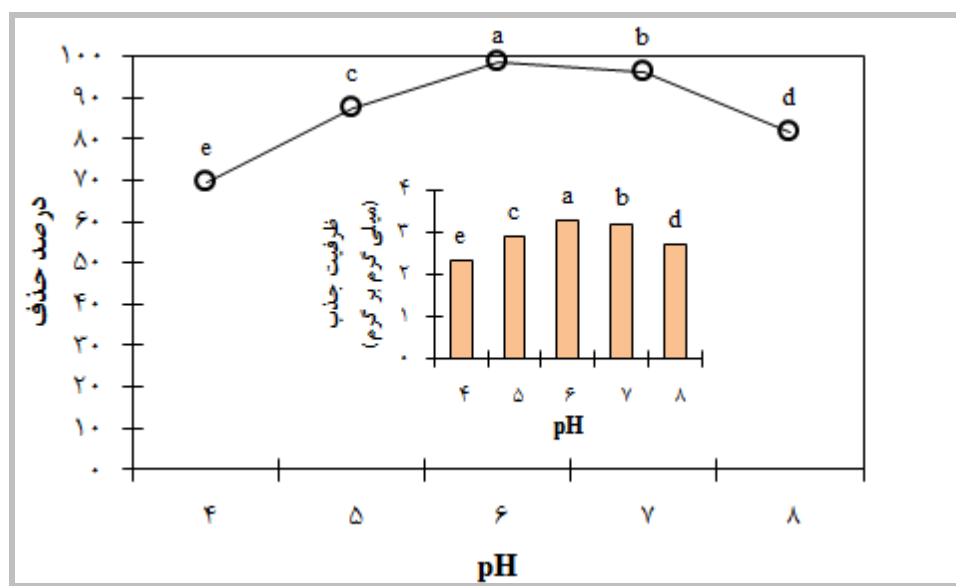
$$G = -RT \ln K_c \quad \Delta$$

$$\Delta G = \Delta H - T \Delta S$$

رابطه ۹

تغییرات pH در جذب

pH، فاکتور بسیار مهمی در فرآیند جذب زیستی است. تغییرات pH بر فعالیت شیمیایی یون های فلزی موجود در محلول و همچنین فعالیت گروههای پایه و رقابت یون های فلزی با یکدیگر بسیار مؤثر است. در این آزمایش حدفاصل تغییرات pH برای فلز سرب، در محدوده 4 تا 8 است. داده های به دست آمده از آزمایش نشان می دهد، حداقل جذب فلز سنگین سرب در محدوده 6 تا 7 است، شکل ۲ [۱۹ و ۲۰]. افزایش جذب با افزایش pH می تواند، به دلیل در دسترنس بودن گروههای آنیونی، در سطح جاذب در فرآیند جذب فلز باشد. در



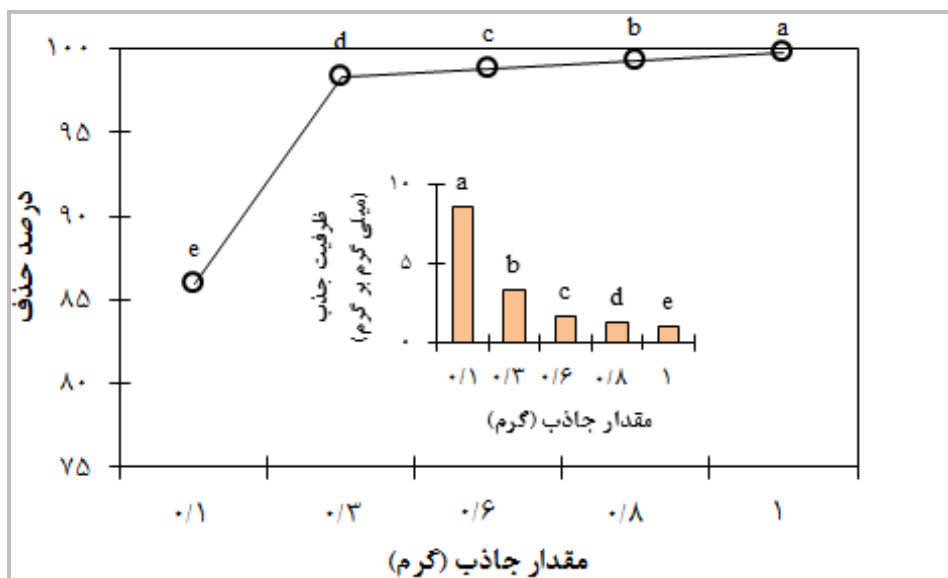
شکل ۲- اثر تغییرات pH در جذب سطحی سرب توسط نانوفیبر لیگنوسولولز: (۱۰۰ میلی‌لیتر محلول ۱۰ میلی‌گرم بر لیتر از فلز سرب در تماس با $\frac{1}{3}$ میلی‌گرم جاذب در دمای ۲۵ درجه سانتی‌گراد، زمان ۶۰ دقیقه)

باید کم‌ترین مقدار از جاذب که قادر به پاسخگویی به نیازها باشد انتخاب گردد [۲۱ و ۲۲].

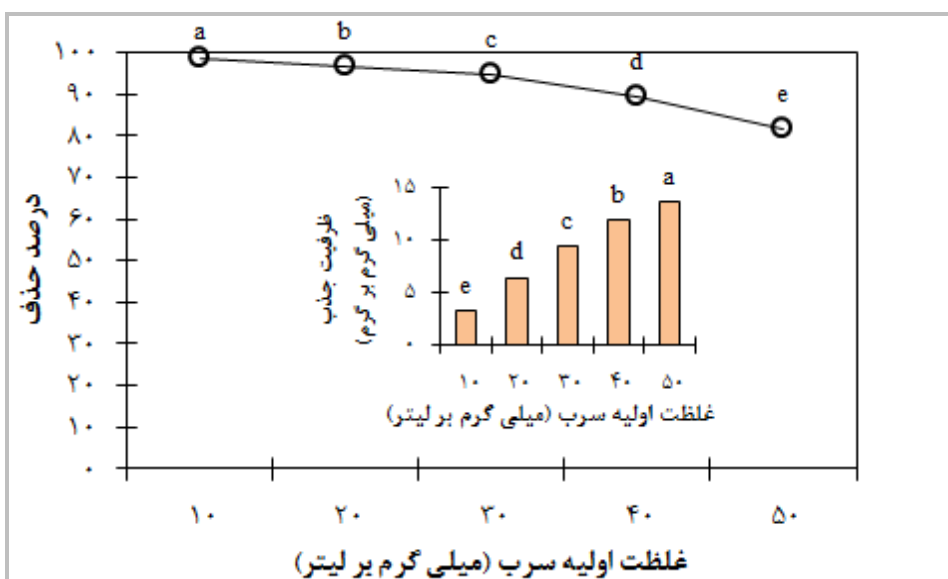
اثر تغییرات غلظت اولیه فلز در جذب
اثرات تغییرات غلظت اولیه فلز سرب بر ظرفیت جذب زیستی در شکل ۴ نشان داده شده است. تغییرات غلظت از ۱۰ تا ۵۰ میلی‌گرم بر لیتر مورد بررسی قرار گرفت. همان‌طور که نمودار نشان می‌دهد، با افزایش غلظت اولیه فلز میزان جذب افزایش یافت تا جایی که تقریباً تغییرات بسیار کم و محلول اشباع شده است. با افزایش غلظت اولیه فلز، تعداد یون‌های فلزی در محلول زیاد می‌شود، رقابت برای دسترسی به محل‌های اتصال در سطح تماس افزایش یافته و تمام محل‌ها در معرض برخورد با یون‌ها قرار گرفته و فعال شده‌اند. با پرشدن محل‌ها در غلظت‌های بالاتر، سطوح اشباع می‌شوند و میزان جذب دیگر افزایش فراوانی ندارد و به یک‌روند ثابتی می‌رسد [۲۳].

اثر تغییرات غلظت جاذب بر میزان جذب یون‌های سرب

به منظور تعیین دوز مؤثر جاذب، آزمایش‌های بررسی اثر مقدار جاذب بر فرآیند جذب یون‌های فلزی سرب، توسط نانوفیبر لیگنوسولولزی انجام شد و با در نظر گرفتن مقدار جاذب که می‌تواند بیشترین مقدار جذب را داشته باشد، محدوده مقدار جاذب در نظر گرفته شد. شکل ۳ درصد حذف و ظرفیت جذب را نشان می‌دهد. با افزایش مقدار جاذب، درصد حذف یون‌های فلزی سرب افزایش و ظرفیت جذب کاهش می‌یابد. با افزایش مقدار جاذب، شمار مکان‌های جذب در دسترس افزایش می‌یابد که منجر به افزایش مقدار فلز جذب شده می‌شود. کاهش ظرفیت جذب با افزایش مقدار جاذب، عمدتاً به دلیل اشباع نشدن مکان‌های جذب در طی فرآیند جذب و تجمع ذرات در مقادیر بالای جاذب است که منجر به کاهش مساحت سطح آن می‌شود. در کاربردهای واقعی



شکل ۳- اثر تغییرات غلظت جاذب نانوفیبر لیگنوسلولز در جذب سطحی سرب (۱۰۰ میلی‌لیتر محلول فلزی ۱۰۰ میلی‌گرم بر لیتر در تماس با غلظت‌های مختلف جاذب در دمای ۲۵ درجه سانتی‌گراد، pH=۶، زمان ۶۰ دقیقه)



شکل ۴- اثر تغییرات غلظت اولیه فلز در جذب سطحی سرب به‌وسیله نانوفیبر لیگنوسلولز ۱۰۰ میلی‌لیتر محلول فلزی (۱۰-۵۰) میلی‌گرم بر لیتر در تماس با ۰/۳ گرم جاذب در دمای ۲۵ درجه سانتی‌گراد، pH=۶، زمان ۶۰ دقیقه)

بر اساس جدول ۱ مقدار فاکتور تفکیک وضعیت ایزوترم قابل تفسیر است، درصورتی‌که مقدار فاکتور تفکیک بین صفر و یک باشد، فرآیند جذب مطلوب و بیشتر از یک نامطلوب در نظر گرفته می‌شود [۷]. منحنی‌های ایزوترمی که انحنای آن‌ها رو به بالا است، مطلوب خوانده می‌شود زیر می‌توان بار نسبتاً زیادی را از سیالی با غلظت کم به دست آورد. منحنی‌های ایزوترمی که انحنای آن‌ها رو به پایین است، نامطلوب خوانده می‌شود چراکه بار

نتایج ایزوترم

یکی از ویژگی‌های اساسی که از مدل لانگمویر به دست می‌آید، فاکتور تفکیک (R_L) است که جهت بیان ویژگی و مشخصه اصلی ایزوترم به کار می‌رود که می‌توان از آن برای ارزیابی مناسب بودن جاذب در جذب استفاده کرد. فاکتور تفکیک (R_L) به صورت زیر تعریف می‌گردد:

$$R_L = \frac{1}{1+bC\theta}$$

رابطه ۷

سطح جاذب همگن است و جذب سطحی عمدتاً به صورت تک لایه انجام می‌شود. ایزوترم‌های جذب سطحی لانگمویر و فروندلیچ برای فلز سرب جذب شده به وسیله نanoligconosulolz در شکل ۵ و ۶ ارائه شده است.

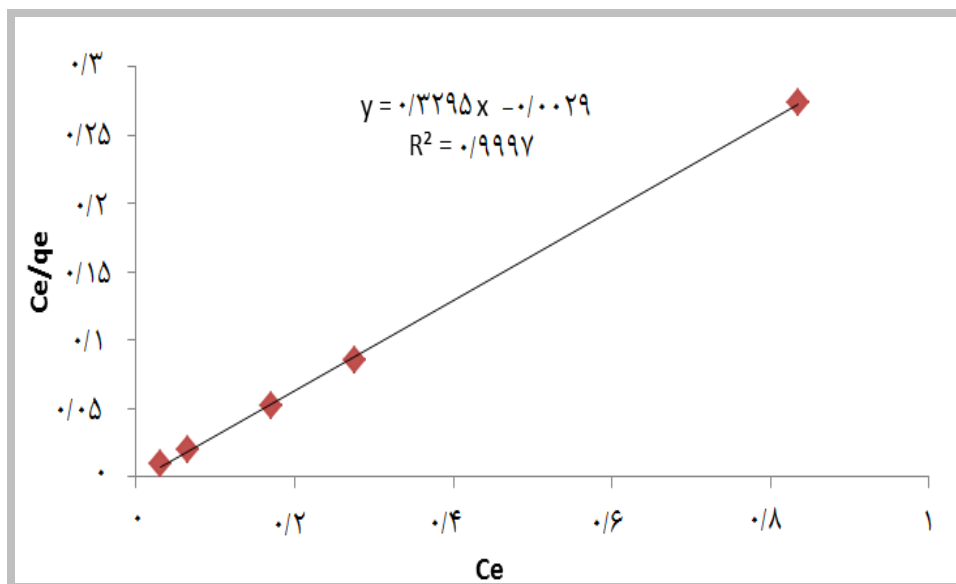
نسبتاً کمی از ماده جذب شده بر روی جامد نشست می‌کند. مقایسه ضرایب همبستگی مدل لانگمویر و فرندلیچ، نشان‌دهنده این امر است که مدل لانگمویر تطابق بهتری با داده‌های آزمایش دارد؛ بنابراین می‌توان نتیجه گرفت که

جدول ۱- پارامتر تعادل

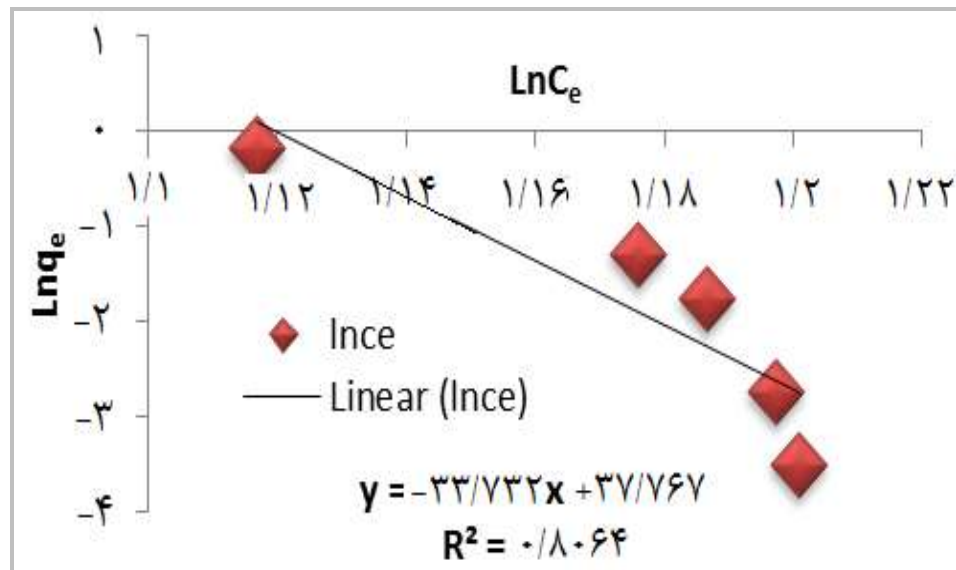
$R_L > 1$	$R_L = 1$	$0 < R_L < 1$	$R_L = 0$	R_L
غیر مطلوب	خطی	مطلوب	تغییر ناپذیر	نوع هم‌دما

جدول ۲- پارامترها و ضرایب همبستگی مدل‌های ایزوترم جذب سرب در جاذب نانولیگنوسولولز

مدل فروندلیچ			مدل لانگمویر			
R^2	n	k_f	R^2	b	q_{max}	R_L
۰/۸۰۶۴	۴۱/۸۴۱	۳/۰۳۴	۰/۹۹۹۷	۱۱۳/۶۵۴	۰/۲۲۶۸	۳/۰۳۴



شکل ۵- ایزوترم جذب سطحی لانگمویر برای فلز سرب جذب شده به وسیله نانولیگنوسولولز



شکل ۶- ایزوترم‌های جذب سطحی فروندلیچ برای فلز سرب جذب شده به وسیله نانولیگنوسولولز

بررسی ترمودینامیکی با توجه به مقادیر مثبت آنتالپی و افزایش راندمان جذب با افزایش دما حاکی از گرمایگیر بودن واکنش است درحالی که در این تحقیق با افزایش دما راندمان جذب کاهش یافت که حاکی از گرمایزا بودن واکنش بوده است و درنتیجه با نتایج حاصل از این تحقیق مغایرت داشته است [۲۴]. Labidi و همکاران (۲۰۱۶) از جاذب کیتین برای جذب مس استفاده کردند. نتایج حاصل از ترمودینامیک با توجه به مقادیر منفی آنتالپی و کاهش راندمان جذب با افزایش دما حاکی از گرمایزا بودن واکنش جذب سرب بوده است و درنتیجه یافته‌های آن‌ها با نتایج حاصل از این تحقیق مطابقت داشته است [۱۷]. Momeni و Naghizadeh (۲۰۱۵) در تحقیقی به این نتیجه رسیدند که واکنش حذف سرب از لحاظ دمایی از نوع واکنش‌های گرمایگیر است. علت این تناقض با نتیجه این تحقیق می‌تواند ناشی از نوع ماهیت جاذب مورداستفاده باشد [۱۶].

ترمودینامیک

در این تحقیق با توجه به نتایج به دست‌آمده، فرآیند حذف سرب توسط نانو فیبر لیگنوسلولزی، از لحاظ استوکیومتری امکان‌پذیر بوده و دلالت بر خود به خودی بودن فرایند جذب سرب دارد (جدول ۳). با افزایش دما، ΔG° (انرژی آزاد گیبس) کمتر شده و درنتیجه خود به خودی بودن فرایند واکنش افزایش یافت. همچنین مقادیر منفی ΔH° (آنالپی) نشان داد که فرایند کلی واکنش موردنظر گرمایزا بوده یعنی با کاهش دمای محیط، میزان حذف افزایش یافت. تغییرات آنتالپی بالا بیانگر حساس بودن فرایند جذب به دما بوده است. مقدار مثبت ΔS° (آنتروپی) نیز نشان داد که میزان بی‌نظمی در سطح مشترک جامد و مایع در طول فرایند جذب افزایش یافت [۱۷]. درواقع مقدار مثبت ΔS° نمایانگر تمایل جاذب به ماده جذب‌شونده در محلول و برخی تغییرات ساختاری در جاذب و جذب‌شونده است. Ge و همکاران (۲۰۱۶) از لیگنین برای حذف سرب استفاده کردند نتایج حاصل از

جدول ۳- پارامترهای ترمودینامیکی در حذف فلز سرب با استفاده از نانوفیبر لیگنوسلولز

T(°C)	T (K)	$\Delta G\text{ (kJ mol}^{-1}\text{)}$	$\Delta H^\circ\text{ (kJ mol}^{-1}\text{)}$	$\Delta S^\circ\text{ (J} \times \text{mol}^{-1} \times \text{K}^{-1}\text{)}$
۱۵	۲۸۸	-۵۱۶۹/۴	-۲۹۹۴۲/۰۴	+۷۷/۳۱۷۷۰۶
۲۰	۲۹۳	-۷۹۷۲/۶۷		
۲۵	۲۹۸	-۱۰۰۵۲/۵		
۳۰	۳۰۳	-۷۰۹۲/۲۸		
۴۰	۳۱۳	-۳۸۲۴/۳۷		

لیتر و دمای ۲۵ درجه سانتی‌گراد، برابر ۹۹/۸ میلی‌گرم بر گرم بوده است. مطالعات ترمودینامیکی نشان داد، با توجه به منفی بودن ΔH° به دست‌آمده در مورد جاذب نانولیگنوسلولز، واکنش گرمایزا بوده و با کاهش دمای محیط میزان حذف افزایش یافت. مقادیر منفی ΔG° برای فرآیند جذب سرب توسط جاذب بیانگر این مطلب است که فرآیند جذب منجر به کاهش انرژی آزاد گیبس و درنتیجه خود به خودی بودن جذب سرب امکان‌پذیر بود. همچنین از مثبت به دست آمدن ΔS° دو جاذب می‌توان نتیجه گرفت که در طول فرآیند جذب سطحی بی‌نظمی افزایش یافت. درنهایت این که نانوفیبر لیگنوسلولز به دلیل

نتیجه‌گیری

جذب زیستی با استفاده از نانو مواد، تکنیک نسبتاً جدیدی است که توانایی و پتانسیل زیادی را در زمینه حذف آلاینده‌ها از محیط‌های آبی، در تحقیقات گوناگون از خود نشان داده است و در سال‌های اخیر مورد توجه قرار گرفته است. در این تحقیق جذب زیستی یون‌های فلزی سرب که جزء فلزات سنگین و سمی است، با استفاده از نانوفیبر لیگنوسلولزی با تأکید بر تغییرات pH، زمان، دما، دوز جاذب و غلظت اولیه فلز سنگین مورد بررسی قرار گرفت. در شرایط بهینه حداکثر حذف مؤثر در pH برابر ۶، غلظت اولیه ۱۰ میلی‌گرم بر لیتر، مقدار جاذب $0/30$ گرم بر

تواند برای حذف سایر فلزات سنگین از منابع آبی به کار گرفته شود.

کارایی بالایی که دارد، با وجود تغییرات دما، زمان و دوز جاذب قادر به جذب زیاد فلز سرب از محلول آبی بوده و به دلیل سطح تماس وسیع و ساختار شبکه‌ای و فیبری می-

منابع

- [1] Rostami, K. and Joodaki, M.R., 2002. Some studies of cadmium adsorption using *spergillus niger*, *Penicillium austurianum*, employing an airlift fermenter. *Journal of chemical engineering*, 89(1-3):239-252.
- [2] Ahluwalia, S.S. and Goyal, D., 2007. Microbial and plant derived biomass for removal of heavy metals from wastewater. *Journal of bioresource technology*, 98(12):2243-2257.
- [3] Amini, M., Younesi, H., Bahramifar, N., Lorestani, A.A.Z., Ghorbani, F., Daneshi, A. and Sharifzadeh, M., 2008. Application of response surface methodology for optimization of lead biosorption in an aqueous solution by *Aspergillus niger*. *Hazardous materials*, 154(1-3):694-702.
- [4] Pamukoglu, M.Y. and Kargi, F., 2006. Batch kinetics and isotherms for biosorption of copper (II) ions onto pre-treated powdered waste sludge (PWS). *Hazardous materials*, 138(3):479-484.
- [5] Wang, L., Meng, C.G., Han, M. and Ma, W., 2008. Lithium uptake in fixed-pH solution by ion sieves. *Journal of colloid and interface science*, 325(1):31-40.
- [6] Ramesh, A., Hasegawa, H., Sugimoto, W., Maki, T. and Ueda, K., 2008. Adsorption of gold(III),platinum(IV) and palladium(II) onto glycine modified crosslinked chitosan resin. *Journal of bioresource technology*, 99(9):3801-3809.
- [7] Chu, K.H., 2002. Removal of copper from aqueous solution by chitosan in prawn shell: Adsorption equilibrium and kinetics. *Hazardous materials*, 90(1):77-95.
- [8] Shukla, A., Zhang, Y.H., Dubey, P., Margrave, J.L. and Shukla, S.S., 2002. The role of sawdust in the removal of unwanted materials from water. *Hazardous materials*, 95(1-2):137-152.
- [9] Deng, J., Kang, X. Chen, L., Wang, Y., Gu, Z. and Lu, Z., 2011. A nanofiber functionalized with dithizone by Co-electrospinning for Lead (II) Adsorption from aqueous media. *Hazardous materials*, 196:187-193.
- [10] Rajwat, D.S., Kardam, A., Srivastava, S. and Satsangee, S.P., 2013. NanoCellulosic fiber-modified Carbon paste electrode for Ultra trace determination of Cd(II) and pb(II) in aqueous solution. *Environmental science and pollution research (ESPR) journal*, 20(5):3068-3076.
- [11] Yang, R., Aubercht, K.B., Ma, H., Wang, R., Grubbs, R.B., Hsiao, B.S. and Chu, B., 2014. Thiol-modified cellulose nanofibrous composite membranes for chromium (VI) and lead (II) adsorption. *Journal of polymer*, 55(5):1167-1176.
- [12] Kardam, A., Rohit Raj, K., Srivastava, S. and Srivastava, M.M., 2014. Nanocellulose fibers for biosorption of Cadmium nichkel, and Lead ions from aqueous solution. *clean technology and environmental policy journal*, 16(2):385-393.
- [13] Lopicic, Z.R., Stojanovic, M.D, Marovic, S.B., Milojikovic, J.V., Mihajilovic, M.L., Radoicic, T.S. and Kijevcanin, M.L., 2016. Effects of different mechanical treatments on structural changes of lignocellulosic waste biomass and subsequent Cu (II) removal kinetics. *Arabian journal of chemistry*, 5:120-129.
- [14] Naddafi, K., Saeed, R. and Mohebbi, M.R., 2005. Bio-sorption and removal of heavy metals from water and wastewater. *water and environment*, 63:33-39.

- [15] Crist, R.H., Oberholser, K., Shank, N. and Ming, N., 1981. Nature of bonding between metallic ions and algal cell walls. *Journal of environmental science and technology*, 15(10):1212-1217.
- [16] Naghizadeh, A. and Momeni, F., 2015. Evaluation of graphen oxide nanoparticles efficacy inchromium and lead removal from aqueous solutions. *Journal of birjand university of medical sciences*, 22 (1):27-38. (In Persian).
- [17] Labidi, A, Salaberria, A.M., Fernandes, S.C., Labidi, J. and Abderrabba, M., 2016. Adsorption of copper on chitin-based materials: Kinetic and thermodynamic studies. *Journal of the taiwan institute of chemical engineers*, 65:140-148.
- [18] Gonzlez A., Villanueva, M., Piehl, L. and Copollo, G., 2015. Development of a chitin/graphene oxide hybrid composite for the removal of pollutant dyes: Adsorption and desorption study. *Chemical engineering journal*, 280:41-48.
- [19] Sposito, A., Pagnanelli, F., Lodi,Solisio, C. and Veglio, F., 2001. Biosorption of heavy metals by *Sphaerotilus* natants: An equilibrium study at different pH and biomass concentration. *Journal of hydrometallurgy*, 60:129-141.
- [20] Yan, G. and Viraraghavan, T., 2001. Heavy metal removal in a biosorption column by immobilized *M.rouxii* biomass. *Journal of bioresource technology*, 78:243-249.
- [21] Maleki A, Mahvi, A.H., Zazouli, M.A., Izanloo, H.and Barati, A.H., 2011. Aqueous cadmium removal by adsorption on barley hull and barley hull ash. *Asian journal of chemistry*, 23:1373-1376.
- [22] Dang, V.B,H, Doan, H.D. and Dang-Vu, T, Lohi A. Equilibrium and kinetics of biosorption of cadmium(II) and copper(II) ions by wheat straw. *Journal of bioresource technology*, 100:211-219.
- [23] Quintelas, C., Rocha, Z., Silva, B., Fonseca, B., Figueiredo, H. and Tavares, T., 2009. Absorptive performance of an *Escherichia coli* biofilm supported on zeolite NaY for the removal of Cr (VI), Cd (II), Fe(III) and Ni(II). *Chemical engineering journal*, 152:110-115.
- [24] Ge ,H., Hua ,T. and Chen, X., 2016. Selective adsorption of lead on grafted and crosslinked Chitosan nanoparticles prepared by using Pb²⁺ as template. *Hazardous materials*, 308:225-232.

Evaluation of lignocellulose nano-fiber absorbent efficacy in lead removal from aqueous solutions

Abstract

Water pollution by metallic ions such as lead from industrials, mine wastewater, automobiles is currently of great concern, since they are not biodegradable and tend to accumulate in living organisms, causing various diseases and disorders. Recently, great attention has been focused on the removal of metallic ions from aqueous solution using adsorbents derived from biomaterials and bio-Nanomaterials due to their natural, abundance, cost-effectiveness and inherent ability to react with metals. The present study aims to evaluate the performance of lignocellulose Nanofibers (cellulose nanofibers containing lignin and hemicellulose) as adsorbent for the removal of lead. The study of adsorption techniques were used in laboratory-scale batch. The effects of pH, initial concentration and dose adsorbent were examined. To study the absorption temperature, thermodynamic parameters such as Gibbs energy (ΔG), enthalpy (ΔH°) and entropy (ΔS°) were calculated. The results of this study showed that the highest removal efficiency was 99.8% at a Nano-absorbent concentration 0.3 mg/l, pH=6, and lead concentration of 10 mg/l. The batch isotherm studies showed that the adsorption data can be described by the Langmuir, Freundlich models. The Langmuir model was found to describe the adsorption data better in comparison with that of Freundlich. The results showed that lignocellulose Nanofibers had high ability to absorb high concentrations of lead from aqueous solutions. The results of thermodynamics express themselves spontaneously, thermally and increase the rate of reaction disorder. The TEM showed the adsorbents have fibers and the networking crystalline structure.

Keywords: biological adsorption, lignocellulose nanofibers, lead, aqueous solutions.

S. Rastgar^{1*}

H. Rezaei²

H. Yousefi³

¹ M.Sc. graduate, Environmental pollution, Gorgan university of agricultural sciences and natural resources, Gorgan, Iran

² Assistant prof., Environmental pollution, Gorgan university of agricultural sciences and natural resources , Gorgan, Iran

³ Assistant prof., Wood and paper engineering, Gorgan university of agricultural sciences and natural resources , Gorgan, Iran

Corresponding author:
saeedehrastgar@yahoo.com

Received: 2017/08/23

Accepted: 2018/01/15